

بررسی ویژگی‌های ترک خوردگی در دمای کم مخلوط‌های آسفالتی حاوی خرده آسفالت بازیافتی و افزودنی ساسوبیت با استفاده از آزمایش خمس نیم‌دایره

امین تناکی‌زاده^{۱*}، مهدی خرقانی^۲

۱- دکترای تخصصی (دانشکده مهندسی عمران، دانشگاه سمنان)

۲- دکترای تخصصی (عضو هیئت علمی وابسته پژوهشکده سازندگی خاتم الانبیاء (ص))

(دریافت: ۱۴۰۰/۱۱/۲۷، پذیرش: ۱۴۰۱/۰۳/۰۳)

چکیده

ترک خوردگی دمای کم یکی از خرابی‌های اصلی رویه‌های آسفالتی است که به عنوان یک شاخص عملکردی مهم در روش طراحی مکانستیک - تحریبی در نظر گرفته می‌شود. سختی شکست و انرژی شکست پارامترهای مهمی برای بررسی ترک خوردگی دمای کم مخلوط آسفالتی هستند. هدف از این مطالعه بررسی پارامترهای شکست دمای کم مخلوط‌های آسفالتی حاوی روسازی آسفالتی بازیافتی و افزودنی آسفالت گرم ساسوبیت با استفاده از آزمایش خمس نیم‌دایره است. برای این منظور آزمایش خمس نیم‌دایره در دمای صفر درجه سانتی‌گراد، تحت حالت تغییر مکان خطی کنترل شده صورت گرفت. هشت مخلوط بین آسفالتی روسازی ممتاز شامل مخلوط آسفالتی داغ، بتن آسفالتی اصلاح شده با ساسوبیت، مخلوط آسفالتی داغ حاوی خرده آسفالت بازیافتی و مخلوط آسفالتی گرم حاوی خرده آسفالت بازیافتی با دو اندازه سنگ‌دانه بیشینه اسمی ۹/۵ و ۱۹ میلی‌متر تهیه شدند. مخلوط‌های آسفالتی بازیافتی گسیختگی شکننده و ناگهانی نشان دادند در حالی که برای مخلوط‌های آسفالتی گرم و داغ گسیختگی شکل پذیرتر بود. سختی شکست مخلوط‌های بازیافتی بزرگ‌تر از دیگر مخلوط‌ها بود (حدود ۱۰۰ درصد مخلوط‌های بدون مصالح بازیافتی). بر اساس پارامتر انرژی شکست، مخلوط‌های آسفالتی بازیافتی، افزون بر مزایای اقتصادی و زیست‌محیطی، عملکرد ترک خوردگی دمای کم بهتری داشتند. مخلوط‌های آسفالتی گرم حاوی خرده آسفالت درشت‌دانه، افزایش حدود ۲۲ درصدی در انرژی شکست نشان دادند که پس از آن مخلوط آسفالتی گرم حاوی خرده آسفالت ریزدانه با حدود ۱۵ درصد و مخلوط آسفالتی داغ حاوی خرده آسفالت درشت‌دانه با حدود ۱۲ درصد قرار داشتند. شدت ترک خوردگی مخلوط‌های بازیافتی کمتر (بین ۲۵ تا ۸۴ درصد مخلوط‌های بدون خرده آسفالت متضاظ) از مخلوط‌های بدون خرده آسفالت بود.

کلیدواژه‌ها : خرده آسفالت بازیافتی، خمس نیم‌دایره، ساسوبیت، انرژی شکست، سختی شکست

آزمایش‌های جهت بررسی ترک خوردگی مخلوط‌های آسفالتی طی مرحله طرح اختلاط به کار نمی‌روند. بنابراین برای بررسی این پدیده و مطالعه چگونگی انتشار ترک در مصالح آسفالتی پیش از اجرای پرتوزدها، نیاز به مطالعه عملکرد مقاومت در برابر ترک توسط جامعه علمی موردنیاز است.

در این میان، دو رویکرد تعیین دمای حدی یا معیار مقاومت و استفاده از نظریه مکانیک شکست جهت پایش شکل‌گیری و رشد ترک‌ها طی اعمال بار تحت بررسی هستند. رویکرد اول به دلیل وجود تنها یک مقدار معین مقاومت مصالح یا تعیین یک دما

۱. مقدمه

سالانه مقداری هنگفتی صرف شناسایی و تعمیر خرابی‌های به وجود آمده در شبکه راه‌های کشور می‌شود. یکی از متدائل‌ترین گسیختگی‌ها در جاده‌های با روسازی آسفالتی، ترک خوردگی است که یا توسط بارهای ترافیک تکراری و یا با نوسانات دمایی در مصالح ایجاد می‌شود. به طور معمول آزمایش‌های مکانیکی با دستگاه‌های آزمایش عملکردی جهت ارزیابی و تعیین مقاومت ترک خوردگی مصالح آسفالتی در آزمایشگاه استفاده می‌شود. بالاین وجود این

که شامل قیر، سنگدانه، افزودنی ساسوبیت و مصالح بازیافتی است، بیان شده و روش آزمایش مبتنی بر مکانیک شکست خمش نیم‌دایره جهت ارزیابی عملکرد ترک خوردگی بتن آسفالتی بررسی می‌شود.

در بخش چهارم، نتایج آزمایش‌های به دست آمده از بررسی نمونه‌های نیم‌دایره مخلوط آسفالتی تحت بار خمشی به شکل منحنی‌های بار - تغییر مکان خطی ارائه می‌شوند. با استفاده از داده‌های آزمایشگاهی، پارامترهای مبتنی بر مکانیک شکست شامل انرژی شکست و سختی شکست محاسبه شده و پس از تفسیر نتایج، انتشار ترک و مقاومت در برابر ترک در دمای کم برای مخلوط‌های موردمطالعه توضیح داده شده و رتبه‌بندی عملکردی آن‌ها مشخص می‌شود. بخش نهایی مطالعه حاضر نتیجه‌گیری از مباحث را ارائه می‌نماید.

تعیین مشخصات آزمایشگاهی و کارهای مدل‌سازی تلاش داشته‌اند تا اثرات سختی را از سه روش اساسی جهت تعیین مقاومت در برابر ترک خوردگی حرارتی بررسی کنند: نخست، استفاده از یک آستانه سختی در یک فرکانس یا زمان معین و یک دمای مشخص، دوم، ایجاد تنش حرارتی و مقایسه آن با مقاومت کششی، و سوم، استفاده از یک رویکرد مبتنی بر مکانیک شکست [۴].

علم مکانیک شکست روی رفتار مکانیکی مصالح دارای نقص‌ها یا ترک‌ها تحت بارگذاری متتمرکز است. مکانیک شکست الاستیک خطی به طور مشخص فرض می‌کند که جسم از مصالح همسانگرد خطی دارای رفتار الاستیک ساخته شده است. بتن آسفالتی ترک‌های کششی یا باز شونده (حالت ۱) را تحت بارهای حرارتی و ترک‌های لغزشی یا بررشی در صفحه (حالت ۲) را تحت بارگذاری وسیله نقلیه نشان می‌دهد [۴].

قیر موجود در مصالح بازیافتی، ترکیب شیمیایی و ویژگی‌های متفاوت از قیر تازه دارد. این دو نوع قیر تا حدی با یکدیگر مخلوط شده و باعث تغییر مشخصات مخلوط‌های حاوی خردۀ آسفالت در مقایسه با مخلوط‌های جدید می‌شوند [۵].

در یک مطالعه انواع مختلف مصالح الیافی را به عنوان افزودنی قیر و مخلوط آسفالتی با میزان خردۀ آسفالت متفاوت صفر، ۲۰ و ۴۰ درصد بررسی کردند. ارزیابی با استفاده از مجموعه آزمایش‌های رئومتر برши دینامیک و رئومتر تیرچه خمشی جهت مطالعه مشخصات رئولوژیکی قیر اصلاح شده با الیاف و آزمایش‌های بارگذاری چرخ، خوش خمشی، حساسیت رطوبتی، خستگی و خود ترمیمی جهت تعیین ویژگی‌های آزمایشگاهی مخلوط‌های بازیافتی اجرا شد. مشخص شد که برای درصدهای خردۀ آسفالت بالای استفاده شده در پروژه‌های روسازی، اضافه کردن چندین افزودنی

به عنوان دمای بحرانی قابل اعمال به بازه وسیعی از مصالح آسفالتی نیست. بنابراین نیاز به استفاده از یک روش آزمایشگاهی مناسب بر اساس اصول نظری متقن مانند نظریه مکانیک شکست احساس می‌شود [۱].

یکی از ارزان‌ترین، در دسترس‌ترین و متدالول‌ترین آزمایش‌ها جهت تعیین مقاومت شکست مخلوط‌های آسفالتی، آزمایش خمش نیم‌دایره است. این آزمایش می‌تواند به سادگی با استفاده از یک قاب بارگذاری فشاری که در آزمایشگاه‌های مقاومت مصالح در دسترس است، انجام شود. علاوه بر این، به دلیل استفاده از نمونه‌های نیم‌دایره که به‌آسانی از مغزهای میدانی به دست می‌آیند، امکان ارزیابی روسازی‌های آسفالتی اجراسده برای کنترل کیفیت وجود دارد [۲].

از طرف دیگر با افزایش استفاده از روش‌های بازیافت آسفالت، تولید احجام زیادی از مصالح روسازی‌های آسفالتی بازیافتی طی عملیات ترمیم و نگهداری روسازی مورد انتظار است. اگر این مصالح در روسازی‌های جدید استفاده شوند، علاوه بر کاهش هزینه تولید آسفالت جدید، سهم فراوانی از انتشار گارهای گلخانه‌ای در کارخانه‌های آسفالت کاسته خواهد شد. کاهش در مصرف منابع شن و ماسه طبیعی نیز قابل حصول است [۳].

هدف از این مطالعه، بررسی مقاومت ترک خوردگی و پارامترهای شکست مخلوط‌های آسفالتی حاوی خردۀ آسفالت بازیافتی و افزودنی ساسوبیت به عنوان مصالح ارزان و دوستدار محیط‌زیست است. این مطالعه با تعیین پارامترهای مبتنی بر مکانیک شکست در دمای کم، پس از ترک خوردگی و انتشار ترک طی اعمال بار خمشی روی نمونه‌های نیم‌دایره از مخلوط آسفالتی انجام می‌شود. آنچه این مطالعه را از تحقیقات متمایز می‌کند، استفاده از مصالح خردۀ آسفالت بازیافتی با دو دانه‌بندی متفاوت همراه با استفاده از افزودنی ساسوبیت است.

استفاده از آزمایش خمش نیم‌دایره همراه با آزمایش‌های تعیین مقاومتی که به طور متدالول به عنوان معیارهای طراحی در طرح اختلاط مخلوط‌های آسفالتی استفاده می‌شوند، راهی برای تولید مخلوط‌های آسفالتی عاری از ترک خوردگی زودهنگام فراهم می‌کند و از هزینه‌های اضافی اعمالی پس از اجرای روسازی آسفالتی با مخلوط‌های نامناسب جلوگیری می‌نماید. در بخش بعد، مطالعات انجام شده در زمینه‌ی این تحقیق شامل مطالعات مرتبط با ترک خوردگی مخلوط آسفالتی، تحقیقات باهدف استفاده از مصالح خردۀ آسفالت بازیافتی در روسازی‌های آسفالتی و مطالعات مرتبط با کاربرد مکانیک شکست در تعیین عملکرد مخلوط آسفالتی مورور شده‌اند.

در بخش سوم، مشخصات مصالح استفاده شده در این مطالعه

کمی روی عملکرد داشت، درحالی که قیر اثر بیشتری روی عملکرد دمای پایین داشت [۱۰].

در یک مطالعه دوازده مخلوط آسفالتی آزمایشگاهی با درجات قیر متفاوت و سطوح خرد آسفالت متفاوت را به‌وسیله چندین پروتکل آزمایشی بررسی کردند. مطالعه آن‌ها تعیین کرد که چه متغیرهایی مهم‌ترین عوامل ارلحاظ شیار شدگی و ترک‌خوردگی-های مکانیکی و حرارتی است. تحلیل‌های آماری نشان داد که عملکرد مخلوط‌های بازیافتی داغ نتیجه اثر ترکیبی میزان خرد آسفالت و درجه قیر است. مشاهده شد که میزان خرد آسفالت می‌تواند به‌شدت وابسته به نتایج مقاومت کششی غیرمستقیم، عدد روانی و انرژی شکست باشد و هر یک از آن‌ها می‌توانند جهت ارزیابی وجود مصالح بازیافتی در مخلوط‌های سوپرپیو استفاده شوند [۱۱].

در تحقیقی دیگر مقاومت ترک‌خوردگی بتن آسفالتی حاوی خرد آسفالت را از طریق روش انرژی شکست ارزیابی کردند. آزمایش‌های خمش نیم‌دایره دوره‌ای و یکنواخت همراه با سیستم همبستگی تصاویر دیجیتال (DIC) جهت ارتباط طول ترک و انرژی شکست انجام شدند. پنج مخلوط آسفالتی حاوی میزان خرد آسفالت‌های متفاوت (۰، ۱۵، ۳۰، ۴۰ و ۵۰ درصد مخلوط) در دو دمای ۱۵ و ۲۵ درجه سانتی‌گراد آزمایش شدند. بر اساس ارتباط بین انرژی شکست و طول انتشار ترک، چندین مشخصه عملکردی برای ترک‌خوردگی ارائه شد. نتیجه‌گیری شود که خرد آسفالت، انرژی شکست و انرژی اولیه برای ایجاد ترک را در آزمایش‌های خمش نیم‌دایره دوره‌ای و یکنواخت کاهش می‌دهد. خرد آسفالت منجر به نرخ‌های انرژی تجمعی پایین‌تر نسبت به مخلوط‌های بدون خرد آسفالت در آزمایش‌های خمش نیم‌دایره‌ای یکنواخت شد. نتایج تأکید کردند که افزودن خرد آسفالت مقاومت ترک‌خوردگی در دماهای متوسط را کاهش می‌دهد [۱۲].

همچنین مقاومت شکست و عملکرد حساسیت رطوبتی مخلوط‌های ولرم و داغ حاوی درصدهای مختلف خرد آسفالت را ارزیابی شد. مقاومت شکست با افزایش میزان خرد آسفالت افزایش داشت. با این وجود لازم به ذکر است که بهبود مشخصات شکست با افزایش میزان خرد آسفالت به دلیل سختی بالاتر نمی‌تواند به‌صورت نظری درست باشد. چنین روندی می‌تواند احتمالاً ناشی از کمبود زمان استراحت در پروتکل آزمایش خمش نیم‌دایره باشد که رفتار اوج و تغییرات یا تغییرپذیری در ویژگی‌های مصالح را در نظر نمی‌گیرد. بنابراین بررسی بیشتر در این زمینه موردنیاز است. مقاومت شکست مخلوط‌های داغ حاوی خرد آسفالت بهتر از مخلوط‌های ولرم حاوی خرد آسفالت بود. بنابراین با توجه به نتایج این مطالعه و مطالعات پیشین، ورود خرد آسفالت در مخلوط‌های

می‌تواند بهتر آن را بهبود داده و مقاوم نماید [۶].

در یک مطالعه با استفاده از راه حل‌های تحلیلی متفاوت، اثر خرد آسفالت روی پاسخ مصالح در دماهای پایین را از طریق آزمایش خرش مخلوط با استفاده از دستگاه رئومتر تیرچه خمشی بررسی کردند. هیچ تفاوتی بین مخلوط اصلی و مخلوط طراحی شده با ۱۵ درصد خرد آسفالت مشاهده نشد. عملکرد ضعیفی با ورود بیش از ۲۵ درصد مصالح بازیافتی در مخلوط مشاهده شد که تغییر قابل ملاحظه‌ای تا افزایش حدود ۴۰ درصد نداشت و این موضوع نشان می‌دهد که درصدهای خرد آسفالت بالاتر می‌تواند بسته به میزان ترافیک و شرایط محیطی استفاده شود [۷].

اشیا و همکاران، مخلوط‌های بازیافتی سرد تولیدی با منابع خرد آسفالت متفاوت را به صورت میدانی بررسی کردند. کار آن‌ها روی تعیین مشخصات در سطح کرنش کوچک و آزمودن مدول سختی در سه دمای آزمایش متمرکز بود. سختی به کمک آزمایش مقاومت کششی غیرمستقیم اندازه‌گیری شد و رفتار شکست به کمک یک سیستم آزمایش خمش نیم‌دایره مطالعه گردید. بر اساس نتایج به دست آمده، اثر مصالح بازیافتی متفاوت و نیز اندازه سنگ‌دانه بیشینه اسماً قابل تأیید بود. به عنوان یک نتیجه، طبقه‌بندي و تفکیک منطقی خرد آسفالت، اجازه پیش‌بینی بهتر مشخصات مکانیکی مخلوط بازیافتی سرد را می‌دهد [۸].

در یک تحقیق مشخصات مکانیکی چند مقایسه مخلوط‌های آسفالتی دارای درصد خرد آسفالت بالا را بررسی کردند. آن‌ها ارتباط بین مشخصات قیر، ملات و مخلوط را بررسی کردند. در آزمایش‌های آن‌ها ۳۰، ۴۰ و ۵۰ و ۸۵ درصد خرد آسفالت به کار رفتند و قیر خالص (بدون خرد آسفالت) و قیر بازیافتی (دارای ۱۰۰٪ خرد آسفالت) برای مقایسه تهیه شدند. مشخص شد که با افزایش خرد آسفالت، قیر، ملات و مخلوط آسفالتی تغییرات مشابهی در مشخصات عملکردی داشتند. مدول مختلط با کاهش ویسکوالاستیسیته افزایش و مقاومت شیار شدگی بهبود یافت. در حالی که مقاومت در برابر ترک‌های حرارتی کاهش داشت. ویژگی‌های مکانیکی قیر، ملات و مخلوط آسفالتی به خوبی وابسته به دماهای پایین و بالا بودند. سنگ‌دانه‌های ریز اثر مهمی روی مشخصات دمای بالای ملاتها داشتند و مدول مخلوط آسفالتی بهشت تحت تأثیر سنگ‌دانه‌های درشت بود [۹].

محققان دیگر عملکرد روسازی با مصالح خرد آسفالت در لایه‌های بالایی و میانی را در مقایسه با مخلوط‌های آسفالتی جدید متناظر با یا بدون دانه‌بندی اولیه یکسان را بررسی کردند. نتایج آزمایش خمش نیم‌دایره نشان داد که مخلوط‌های حاوی خرد آسفالت در دماهای پایین عملکرد ضعیفی داشتند و دانه‌بندی اثر

شد. در مقایسه با FI، شاخص CRI پارامتر تشخیص دهنده بهتر و با تغییرپذیری کمتر بود. ژو و همکاران، ارزیابی جامعی روی پارامترهای شکست شامل انرژی شکست، شاخص انعطاف‌پذیری ایلی‌نویز (IFI)، ضریب تشدید تنش و شاخص مقاومت انجام دادند. تمرکز این مطالعه بر ترک‌خوردگی دمای کم بود و تمام پارامترها با استفاده از نتایج آزمایش شکست دیسک فشرده (DCT) در دماهای پایین ارزیابی شدند. هدف از مطالعه تعیین ارتباط بین شاخص‌های شکست و نیز تعیین تغییرپذیری اندازه‌گیری‌های معمول مرتبط با هر پارامتر بود. نتایج نشان دادند که انرژی شکست قادر به رتبه‌بندی مناسب مخلوط‌ها و بهشت وابسته به دیگر پارامترها بود. بهمنظور مطالعه بهتر رفتار نرم شوندگی پس از اوج مصالح آسفالتی، پارامترهای مقاومت و انعطاف‌پذیری استفاده شدند، اما مشخص شد که آن‌ها تغییرپذیری زیادی دارند. شاخص جدیدی به نام تلورانس کرنش شکست معروفی شد که سطح یکسانی از تمایز بین مخلوط‌ها را همانند شاخص‌های مقاومت و انعطاف‌پذیری ارائه می‌کرد درحالی که تغییرپذیری کمتری داشت.

۲. روش تحقیق

به منظور بررسی ترک‌خوردگی حرارتی دمای کم مخلوط آسفالتی مصالح متنوعی بررسی شدند. به این ترتیب سنگدانه‌های سیلیسی رودخانه‌ای و نیز سنگدانه‌های به دست آمده از بازیافت روسازی آسفالتی که در دو اندازه سنگدانه با اندازه سنگدانه بیشینه اسامی ۹/۵ و ۱۹ میلی‌متر بودند، استفاده شدند. همچنین سه نوع قیر شامل قیر خالص به عنوان نمونه شاهد، قیر اصلاح شده با افزودن ساسوبیت برای تهیه مخلوط‌های ولرم و قیر بازیافت شده از مصالح خرد آسفالت مطالعه شدند. سنگدانه‌های جدید بر اساس پنج‌های کارخانه آسفالت در ۵ گروه شن درشت ۱۹ تا ۲۵ میلی‌متر، شن متوسط (۱۲ تا ۱۹ میلی‌متر)، شن ریز (۶ تا ۱۲ میلی‌متر)، ماسه (صغر تا ۶ میلی‌متر) و فیلر (عبوری از الک شماره ۲۰۰) در طرح اختلاط استفاده شدند. سنگدانه‌های بازیافتی سه گروه درشت‌دانه (مانده روی الک شماره ۴)، ریزدانه (عبوری از الک شماره ۴ و مانده روی الک شماره ۲۰۰) و فیلر (عبوری از الک شماره ۲۰۰) طبقه‌بندی شدند. نمونه‌ای از سنگدانه‌های بازیافتی در شکل (۱) دیده می‌شود. مشخصات سنگدانه‌ها همراه با روش آزمایش استاندارد جهت تعیین آن‌ها و نیز حدود رواداری مربوطه در جدول (۱) داده شده‌اند. قیر مورداً استفاده درجه عملکردی در جدول (۱) داده شده‌اند. قیر مورداً استفاده درجه عملکردی ۳۲۰ PG64-16 دارد. مشخصات این قیر مطابق با استاندارد آشتوام [۲۹] در جدول (۲) ارائه شده است. ساسوبیت یک هیدرولکرین زنجیره بلند آلیفاتیک است که با فرآیندی به نام فیشر-تروپس تولید می‌شود. طول زنجیره مولکولی آن در بازه ۴۰ تا بیش از ۱۱۵

ولرم باید به دقت ارزیابی شود [۱۳]. کنترل‌های منظم و نمونه-برداری در محل روسازی‌های آسفالتی معمولاً با به دست آوردن مغزه ساختار روسازی و نیز تعیین مشخصات از مغزه‌های استوانه‌ای انجام می‌شود. بنابراین نیاز است تا نمونه آزمایش شکست از نمونه-های متراکم ژیراتوری ساخته شود. با ترکیب هندسه تیر خمثی و شکل استوانه‌ای مغزه‌های مخلوط آسفالتی، هندسه آزمایش آسفالتی نیم‌دایره توسعه یافته و در آزمایش‌های شکست روسازی آسفالتی استفاده شد [۱۴]. این آزمایش تحت بارگذاری استاتیک معمولاً برای اندازه‌گیری ضریب تشدید تنش (K)، مقاومت شکست، انرژی شکست یا نرخ انرژی مستهلك شده (J) مخلوط آسفالتی به کار می‌رود [۱۵]. ضرایب قانون پاریس بر اساس تحلیل داده‌های خمثی نیم‌دایره تحت بارگذاری دینامیک به دست می‌آیند که خود تخمینی از رشد ترک به عنوان تابعی از تعداد چرخه بارگذاری است. مطالعات بر اساس مکانیک شکست جهت رفتار ترک-خوردگی مصالح آسفالتی شامل جنبه‌های متنوعی می‌باشد. برخی از محققین روی اثرات افزودنی‌ها و مصالح بازیافتی بر عملکرد شکست مخلوط‌های آسفالتی متوجه شدند [۱۸-۱۶]. برخی از مطالعات روی روش‌های انجام آزمایش و مقایسه روش‌های متفاوت انجام شده است [۲۳-۱۹]. همچنین محققین پارامترهای مبتنی بر مکانیک شکست متفاوتی را بر اساس نتایج آزمایش‌های پیشنهاد دادند [۲۶-۲۴]. ارزیابی عددی و مدل‌سازی عملکرد ترک نیز موضوع برخی از مطالعات بوده است [۲۸-۲۷].

در یک تحقیق مشخصات شکست نمونه‌های خمث نیم‌دایره را با استفاده از روش‌های متفاوت تحلیل کردند. نمونه‌ها به وسیله سیستم خمث نیم‌دایره آزمایش شدند. نتایج نشان دادند که نمونه‌های تولیدشده با قیر سخت‌تر، مقاومت شکست بالاتری نشان دادند، درحالی که برای رسیدن به گسیختگی انرژی کمتری در مقایسه با نمونه‌های تولیدشده با قیر نرم‌تر صرف کردند. علاوه بر این، این مطالعه سه مشخصه شامل نرخ شروع شکست (V_{FI})، نرخ رشد ترک (V_{CG}) و شاخص انعطاف‌پذیری (FI) را برای درک بهتری از رفتار شکست مخلوط‌های آسفالتی از نظر مقاومت در برابر ترک و انتشار ترک ارائه داد. نتایج V_{FI} و V_{CG} بهشت وابسته به شکنندگی مخلوط‌ها بودند درحالی که FI توانایی قابل قبولی در تشخیص امکان ترک‌خوردگی مخلوط‌ها فارغ از خصوصیات ذاتی آن‌ها نشان داد (۲۴). کاسیر و همکاران پارامتر ترکی به نام شاخص مقاومت ترک (CRI) را بر اساس نتایج آزمایش خمث نیم‌دایره ارائه داده و آن را با شاخص انعطاف‌پذیری (FI) مقایسه کردند. نتایج نشان دادند که هر دو مشخصه حساس به درجه عملکردی قیر، میزان مصالح بازیافتی و عامل جوان‌کننده بودند. نتایج همچنین وابستگی هر دو مشخصه به ضخامت نمونه و میزان درصد فضای خالی را نشان داد. ارتباط منطقی بین هر دو مشخص تأیید

جدول (۱). مشخصات مصالح سنگی

بازیافتی ریزدانه	بازیافتی درشتدا نه	ماشه	شن	معیار	روش	مشخصه
۲/۶۸۲	۲/۶۲۰	۲/۶۸	۲/۶۷	-	AS TM C12 7,C 128	وزن مخصوص ظاهری
۲/۴۸۹	۲/۵۰۹	۲/۴۸	۲/۵۴	-	AS TM C12 7,C 128	وزن مخصوص حقیقی
۲/۸۸۷	۱/۶۸۴	۳/۰	۱/۹۳	-	AS TM C12 7,C 128	درصد جذب آب (%)
-	۰/۵	-	۱/۰۷	<۱۰	AS TM D47 91	سنگانه‌های پهن و دراز نسبت ۱ به ۵ (%)
-	۹۹	-	۹۸	>۹۵	AS TM D58 21	شکستگی مصالح سنگی روی الک ۴ شماره در یک جبهه (%)
-	۹۵	-	۹۴	>۹۰	AS TM D58 21	شکستگی مصالح سنگی روی الک ۴ شماره در دو جبهه (%)
۴۵	-	۴۵/۵	-	>۴۵	AS TM C12 52	گوشهداری مصالح سنگی (%) ریزدانه

اتم کردن است. برخلاف آن زنجیره‌های مولکولی پارافین‌ها در قیر به طور معمول بین ۴۵ تا ۲۲ اتم کردن دارد. این علت خواص فیزیکی متفاوت ساسوبیت در مقایسه با پارافین‌های موجود در قیر است. نقطه ذوب ساسوبیت در بازه ۷۰ تا ۱۱۵ درجه سانتی‌گراد است. مثالی از افزودنی ساسوبیت استفاده شده در این مطالعه در شکل (۲) نشان داده شده است [۳۰]. ساسوبیت به طور کامل در قیر در دماهای بالای ۱۱۵ درجه سانتی‌گراد قابل حل است. پس از اختلاط با قیر، این مصالح محلول همگنی را تشکیل می‌دهد و باعث کاهش فراوان در ویسکوزیته قیر می‌شود. این موضوع دمای اختلاط و حمل آسفالت را از ۱۰ تا ۳۰ درجه سانتی‌گراد کاهش می‌دهد. همچنین منجر به کاهش فراوان در انتشار بخارهای قیر و دی‌اکسید کربن طی فرآیندهای ساخت و توزیع آسفالت و نیز صرفه‌جویی در انرژی می‌شود. طی فرآیند سرد شدن، ساسوبیت مجدد کریستال شده و تشکیل یک ساختار شبکه‌ای در قیر می‌دهد که منجر به افزایش پایداری یا استقامت آسفالت می‌شود [۳۱]. در این مطالعه ساسوبیت با قیر به میزان ۱/۵ درصد وزنی قیر و در دمای ۱۲۰ درجه سانتی‌گراد به کمک یک مخلوط کن برشی سرعت بالا مخلوط شده است تا قیر اصلاح شده همگنی به دست آید. قیر به دست آمده توانایی ذخیره شدن به صورت گرم بدون تمایل به جدا شدن فاز را دارد. قیر اصلاح شده با ساسوبیت درجه عملکردی PG 64-10 داشت و مشخصات آن در جدول (۳) داده شده است. قیر ذرات خرد آسفالت بازیافتی با اجرای فرآیند استخراج و جداسازی فیلر از محلول استخراج شده طبق استاندارد ASTM D2172 [۳۱] بازیابی شده و تقطیر محلول به دست آمده مطابق روش استاندارد ASTM D1856 [۳۲] صورت گرفته است.



شکل (۱). خرد آسفالت بازیافتی تقسیم شده به دو بخش ریزدانه و درشت‌دانه



شکل (۲). نمونه افزودنی ساپویت مورد استفاده در ساخت WMA

۱-۲. روش طرح اختلاط آسفالت

در این مطالعه چهار مخلوط سوپرپیو با روش AASHTO [۳۴] و مطابق با مشخصات R35 [۳۳] آماده شده است. حجم ترافیک سالیانه ۳ تا ۱۰ میلیون محور معادل بود و سنگ‌دانه‌ها اندازه بیشینه اسمی ۹/۵ و ۹ میلی‌متر داشتند. مخلوط‌ها به صورت حاوی خرد آسفالت بازیافتی و بدون آن تولید شدند. منحنی دانه‌بندی مخلوط‌ها همراه با حدود رواداری بالا و پایین سوپرپیو در شکل‌های (۴) و (۵) دیده می‌شود [۳۴].

جدول (۲). مشخصات قیر پایه

وضعیت قیر	مشخصه	استاندارد آزمایش	معیار استاندارد	نتیجه آزمایش
قیر پیر نشده	ویسکوزیته در $^{\circ}\text{C}$ (Pa.s) ۱۳۵	AASHTO T316	<۳	۰/۴۱۲
قیر پیر نشده	G*/sin δ با برش دینامیکی در دمای ۶۴ $^{\circ}\text{C}$ و در ۱۰ rad/s (kPa)	AASHTO T315	>۱	۲/۴۰
قیر پیر شده در RTFO	تغییر جرم پس از (/) RTFO	AASHTO T240	<۱	۰/۰۶
قیر پیر شده در RTFO	G*/sin δ با برش دینامیکی در ۶۴ $^{\circ}\text{C}$ دمای rad/s و در (kPa) ۱۰	AASHTO T315	>۲/۲	۲/۶۵
قیر پیر شده در PAV	G*.sin δ با برش دینامیکی در ۲۱ $^{\circ}\text{C}$ دمای rad/s و در (kPa) ۱۰	AASHTO T315	<۵۰۰	۳۳۸۵
قیر پیر شده در PAV	سختی خزشی در -۶ $^{\circ}\text{C}$ دمای و در زمان ۶۰ ثانیه (MPa)	AASHTO T313	<۳۰	۱۱۱
	مقدار m در -۶ $^{\circ}\text{C}$ دمای و در زمان ۶۰ ثانیه	AASHTO T313	>۰/۳	۰/۳

بر اساس رتبه‌بندی عملکردی، این قیر درجه PG94-4 داشت که مشخصات آن در جدول (۴) داده شده و نمونه‌ای از قیر بازیافتی در شکل (۳) ملاحظه می‌شود.

جدول (۴). مشخصات قیر بازیافتی

نتیجه آزمایش	معیار استاندارد	استاندارد آزمایش	مشخصه	وضعیت قیر
۱/۶۰۳	<۳	AASHTO T316	ویسکوزیته در °C (Pa.s) (۳۵)	
۲۷/۰۲	>۱	AASHTO T315	G*/sinδ با برش دینامیکی در دمای ۶۴°C و در ۱۰ rad/s (kPa)	قیر پیر نشده
۰/۱۱	<۱	AASHTO T240	تغییر جرم پس از RTFO (%)	قیر پیر شده در RTFO
۲۹/۱۹	>۲/۲	AASHTO T315	G*/sinδ با برش دینامیکی در دمای ۶۴°C و در ۱۰ rad/s (kPa)	قیر پیر شده در RTFO
۶۹۰۵	<۵۰۰۰	AASHTO T315	با G*.sinδ برش دینامیکی در دمای ۲۱°C و در ۱۰ rad/s (kPa)	قیر پیر شده در PAV
۱۱۹	<۳۰۰	AASHTO T313	سختی خزشی در °C دمای -۶ و در ۶۰ زمان ثانیه (MPa)	قیر پیر شده در PAV
۰/۲۶۱	>۰/۳	AASHTO T313	m مقدار در دمای -۶°C و در زمان ۶۰ ثانیه	

جدول (۳). مشخصات قیر اصلاح شده با ساسوبیت

نتیجه آزمایش	معیار استاندارد	استاندارد آزمایش	مشخصه	وضعیت قیر
۰/۳۱۴	<۳	AASHTO T316	ویسکوزیته در °C (Pa.s) (۳۵)	
۳/۴۷	>۱	AASHTO T315	G*/sinδ با برش دینامیکی در دمای ۶۴°C و در ۱۰ rad/s (kPa)	قیر پیر نشده
۰/۰۸	<۱	AASHTO T240	تغییر جرم پس از RTFO (%)	قیر پیر شده در RTFO
۳/۹۹	>۲/۲	AASHTO T315	G*/sinδ با برش دینامیکی در دمای ۶۴°C و در ۱۰ rad/s (kPa)	قیر پیر شده در RTFO
۳۶۶۳	<۵۰۰۰	AASHTO T315	با G*.sinδ برش دینامیکی در دمای ۲۱°C و در ۱۰ rad/s (kPa)	قیر پیر شده در PAV
۱۵۶	<۳۰۰	AASHTO T313	سختی خزشی در °C دمای -۶ و در ۶۰ زمان ثانیه (MPa)	قیر پیر شده در PAV
۰/۲۵۴	>۰/۳	AASHTO T313	m مقدار در دمای -۶°C و در زمان ۶۰ ثانیه	

مخلوطهای WMA با طرح اختلاط مشابه مخلوطهای HMA تولید شدند و تنها دمای اختلاط و تراکمیشان حدود ۲۰ درجه سانتی‌گراد پایین‌تر از مخلوطهای HMA بود. نمونه‌های حاوی خرد آسفالت بازیافتی شامل افزودنی ساسوبیت نیز بودند.

جدول (۵). مشخصات مخلوطهای آسفالتی موردمطالعه

شماره نمونه‌ها	میزان خردۀ آسفالت (%)	وزن مخصوص واقعی مخلوط آسفالتی	درصد فضای خالی (%)	VMA (%)	درصد قیر بهینه	نوع مخلوط
1H19	-	۲/۳۰۱	۳/۰۸	۱۳/۳۱	۴/۹۵	HMA19
1H9	-	۲/۲۵۴	۳/۶۷	۱۵/۵۸	۵/۵	HMA9.5
1H19sa	-	۲/۳۰۱	۳/۰۸	۱۳/۳۱	۴/۹۵	WMA19
1H9sa	-	۲/۲۵۴	۳/۶۷	۱۵/۵۸	۵/۵	WMA9.5
1R19	۳۰	۲/۲۸۱	۴/۰۴	۱۴/۳۰	۵/۱	HRAP19
1R9	۶۰	۲/۲۴۴	۴/۲۵	۱۵/۸۷	۵/۹	HRAP9.5
1R19sa	۳۰	۲/۲۸۱	۴/۰۴	۱۴/۳۰	۵/۱	WRAP19
1R9sa	۶۰	۲/۲۴۴	۴/۲۵	۱۵/۸۷	۵/۹	WRAP9.5

تراکم مخلوطها به روش ژیراتوری با تعداد چرخش ۱۰۰ دور در دقیقه و زاویه چرخش ۱۶/۱ درجه صورت گرفت. مخلوطها برای میزان فضای خالی 4 ± 0.5 درصد طرح شدند. پارامترهای حجمی مخلوطها در جدول (۵) نشان داده شده‌اند.



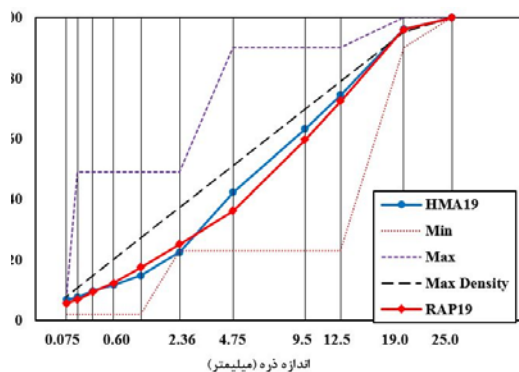
شکل (۳). نمونه قیر بازیافتی پس از استخراج از مخلوط و جداسازی فیلر

در این مطالعه به منظور بررسی مقاومت شکست و ترک-خوردگی حرارتی مخلوطهای آسفالتی در دماهای پایین از روش آزمایش خمس نیم‌دایره بر اساس اصول مکانیک شکست استفاده شده است. آماده‌سازی نمونه، سیستم بارگذاری، داده‌های ثبت شده و محاسبات در تطابق با روش استاندارد AASHTO TP105-13 [۳۵] با عنوان تعیین انرژی شکست مخلوطهای آسفالتی با استفاده از هندسه خمس نیم‌دایره بودند.

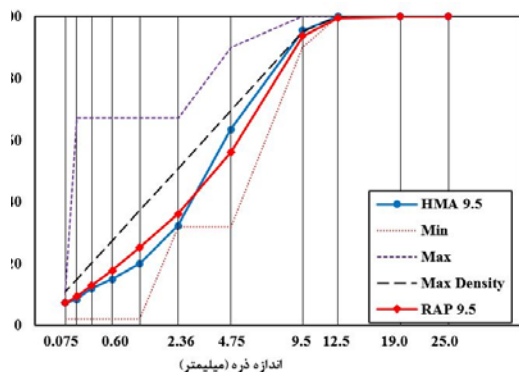
حداقل سه نمونه آزمایشگاهی مشابه برای هر مخلوط باید تولید شود. نمونه‌های مترکم ژیراتوری مطابق با روش استاندارد AASHTO T312 [۳۶] تولید شدند (شکل ۶).

از مرکز هر نمونه با قطر $115/5$ میلی‌متر، یک مقطع استوانه‌ای به ضخامت $24/7$ میلی‌متر به دست آمد. سپس نمونه استوانه‌ای به دونیمه مساوی تقسیم شد و شیاری در جهت محور تقارن هر نیمه به عمق 15 ± 0.5 و عرض کمتر از $1/5$ میلی‌متر ایجاد شد (شکل ۷). نمونه‌ها باید در محفظه کنترل دما در دمای موردنظر برای 20 ± 0.5 ساعت واقع شوند. در این مطالعه، دمای آزمایش نیم‌دایره روی دو تکیه‌گاه انتقالی گراد جهت بررسی ترک‌خوردگی دمای پایین مخلوطها استفاده شد. نمونه مخلوط آسفالتی نیم‌دایره روی دو تکیه‌گاه غلتکی قرار می‌گیرد. بار در راستای قطر عمودی نمونه اعمال شده و مقادیر بار و تغییر مکان زیرخط بارگذاری (LLD) همراه با تغییر مکان بازشدگی دهانه ترک (CMOD) طی آزمایش افزایش گیری شدند.

بار به شکلی اعمال شد که نرخ LLD و CMOD جهت اطمینان از شرایط رشد ترک پایدار ثابت باشد. در این مطالعه آزمایش در



شکل (۴). منحنی دانه‌بندی مخلوطهای با اندازه سنگدانه بیشینه ۱۹ میلی‌متر



شکل (۵). منحنی دانه‌بندی مخلوطهای با اندازه سنگدانه بیشینه ۹.۵ میلی‌متر



شکل (۸). نمونه نیم‌دایره مخلوط آسفالت بازیافتی تحت بارگذاری خمشی با نرخ LLD ثابت

انرژی شکست طبق توصیه RILEM TC50-FMC به دست آمد و با تقسیم انرژی شکست (سطح زیر منحنی بار-LLD) بر مساحت پیوند (حاصل ضرب طول پیوند و ضخامت نمونه) نمونه SCB قبل از آزمایش محاسبه شد [۳۵].

$$G_f = \frac{W_f}{A_{lig}}, \quad W_f = \int Pdu, \quad A_{lig} = (r-a) \times t \quad (۱)$$

که در آن، G_f انرژی شکست بر حسب ژول بر مترمربع (J/m^2)، W_f کار شکست بر حسب ژول (J)، P بار اعمالی بر حسب نیوتن (N)، u تغییر مکان زیرخط بارگذاری بر حسب متر (m)، A_{lig} مساحت تابعی پیوند بر حسب مترمربع (m^2)، r شعاع نمونه بر حسب متر (m)، a طول شیار بر حسب متر (m) و t ضخامت نمونه بر حسب متر (m) است [۳۵].

مقاومت شکست (K_{IC}) به صورت ضریب تشید تنش (K_I) در میزان بار بحرانی (P_C) محاسبه شد. بار بحرانی، بار بیشینه ثبت شده طی آزمایش فرض می‌شود. معادله زیر برای محاسبه (K_I) به کار می‌رود.

$$\frac{K}{\sigma_0 \sqrt{\pi a}} = Y_{I(0.8)}, \quad \sigma_0 = \frac{P}{2rt} \quad (۲)$$

که در آن، P بار اعمالی بر حسب مگانیوتون (MN) و $Y_{I(0.8)}$ ضریب تشید تنش نرمال شده (بی‌بعد) است. برای ابعاد نمونه

حالت کنترل LLD و با نرخ $0/6$ میلی‌متر بر دقیقه انجام شد و آزمایش زمانی که بار به زیر $5/0$ کیلو نیوتن رسید یا زمانی که گیج اندازه‌گیری CMOD به انتهای بازه عملکرد خود رسید، اتمام یافت.



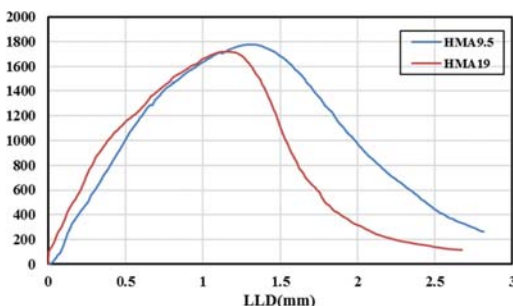
شکل (۶). تهییه نمونه مخلوط آسفالتی متراکم شده به روش ژیراتوری به قطر 150 میلی‌متر



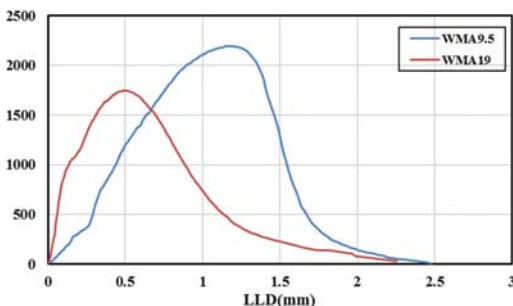
شکل (۷). نمونه نیم‌دایره از مخلوط

پارامترهای انرژی شکست و مقاومت شکست از نتایج بار و LLD محاسبه شدند. این پارامترها جهت تعیین مخلوط‌های با مقاومت شکست بالاتر به کار رفتند. شکل (۸) نمایی از آزمایش خمش نمونه‌های نیم‌دایره در مطالعه حاضر را نشان می‌دهد.

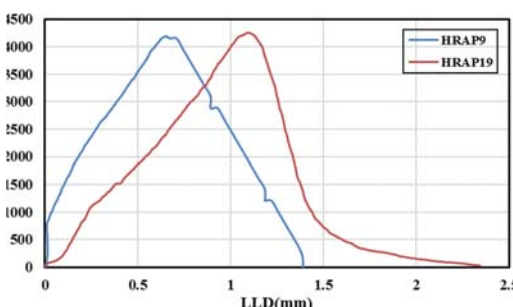
منحنی های بار-LLD برای مخلوطهای مختلف در شکل های (۱۰) تا (۱۳) نشان داده شده است. طبق این شکل ها، مشخص است که مخلوطهای WRAP9.5 و WMA9.5 HMA9.5 اثری بیشتری جهت ایجاد تغییر شکل در حجم خود در مقایسه با مخلوطهای آنها است. طبق شکل (۱۲) مشخص است که مخلوط HRAP9.5 اثری کمتری در حجم خود مستهلك می کند که بیانگر رفتار شکننده تر آن است.



شکل (۱۰). مقایسه منحنی بار-LLD مخلوطهای HMA با دانه-بندی های ۹/۵ و ۱۹ میلی متری



شکل (۱۱). مقایسه منحنی بار-LLD مخلوطهای WMA با دانه-بندی های ۹/۵ و ۱۹ میلی متری



شکل (۱۲). مقایسه منحنی بار-LLD مخلوطهای HRAP با دانه-بندی های ۹/۵ و ۱۹ میلی متری

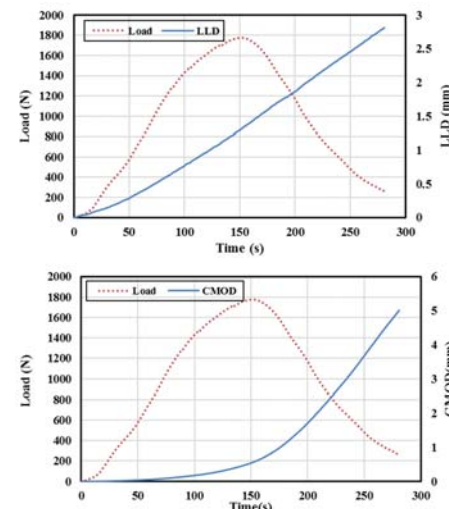
SCB به کار رفته در این روش استاندارد، مقدار $Y_{I(0.8)}$ به صورت زیر محاسبه می شود [۳۶].

$$Y_{I(0.8)} = 4.782 + 1.219 \left(\frac{a}{r} \right) + 0.063 \exp \left(7.045 \left(\frac{a}{r} \right) \right) \quad (۳)$$

برای دمای آزمایش پایین استفاده شده در این مطالعه (صفرا درجه سانتی گراد) فرض شرایط الاستیک خطی منطقی است، زیرا تغییرات مدول برای بازه زمان آزمایش کمتر از ۵ درصد است و ناحیه فرآیند شکست کوچک است. واحد اندازه گیری K_{IC} بر حسب $\text{MPa} \times \text{m}^{0.5}$ است. بخش بعدی نتایج آزمایش برای مخلوطهای مختلف مورد استفاده در این مطالعه را نشان می دهد.

۳. نتایج و بحث

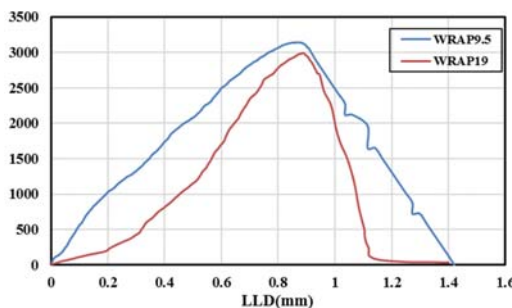
خروجی آزمایش، تغییرات در میزان بار اعمالی، LLD و CMOD نسبت به زمان است. نمودارهای بار-LLD و بار-CMOD قابل استخراج هستند. نمونه ای از نتایج آزمایش در شکل (۹) دیده می شود. علاوه بر این منحنی های بار-LLD مقایسه ای مخلوطهای مورد مطالعه که سطح زیر آنها معادل با انرژی یا کار موردنیاز برای ایجاد ترک خورده گی دمای پایین است، نمایش داده شده اند. پارامترهای مقایسه شامل دانه بندی، فناوری WMA و کاربرد خرد آسفالت بازیافتی است.



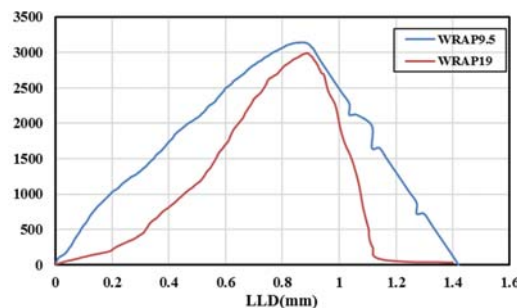
شکل (۹). تغییرات بار و LLD (بالا) و بار و CMOD (پایین) در زمان آزمایش برای نمونه ۲ H9_2

۳-۱. اثرات دانه بندی

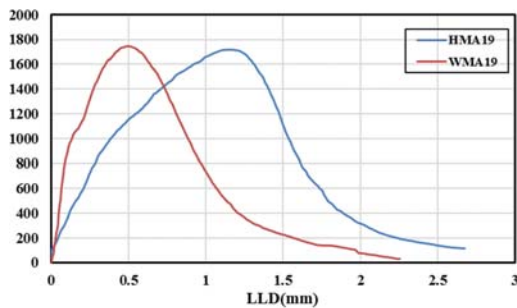
در این بخش اثر اندازه سنگ دانه بیشینه روی شکل منحنی های بار-تغییر مکان و انرژی مصرف شده بررسی می شود. مقایسه



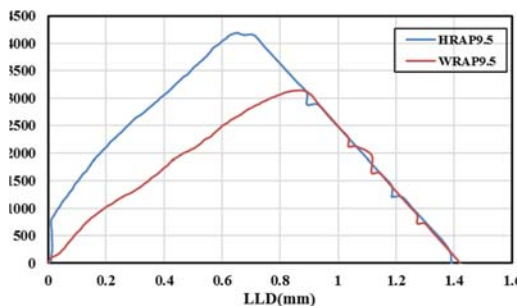
شکل (۱۴). مقایسه منحنی بار-LLD مخلوط‌های WRAP9.5 و WRAP19 با WMA9.5 و HMA9.5



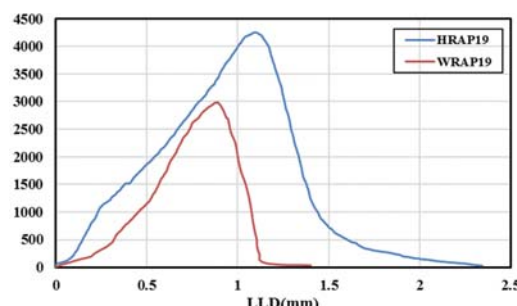
شکل (۱۳). مقایسه منحنی بار-LLD مخلوط‌های WRAP با دانه‌بندی‌های ۹/۵ و ۱۹ میلی‌متری



شکل (۱۵). مقایسه منحنی بار-LLD مخلوط‌های WMA19 و HMA19



شکل (۱۶). مقایسه منحنی بار-LLD مخلوط‌های WRAP9.5 و HRAP9.5



شکل (۱۷). مقایسه منحنی بار-LLD مخلوط‌های WRAP19 و HRAP19

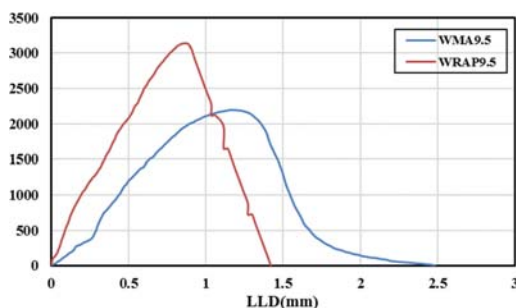
با در نظر گرفتن شبیه منحنی بار-LLD در بخش پیش از اوج به عنوان سختی، این مشخصه مخلوط‌های HMA19 و HMA9.5 تقریباً یکسان است. سختی مخلوط WRAP9.5 کمتر از مخلوط WMA19 است که ناشی از ضعف ساختار اسکلت سنگدانه‌ای و کمبود قفل و بست داخلی سنگدانه‌ها در یک مخلوط ریزدانه سختی مخلوط‌های WRAP9.5 و HRAP9.5 بالاتر از مخلوط‌های RAP19 میلی‌متری متناظر است که ناشی از وجود درصد بالاتر (۶۰ درصد) و متعاقباً وجود قیر سخت در مخلوط ریزدانه است. این یافته در تطابق با مطالعه صورت گرفته توسط یان و همکاران [۳۷] است.

با نگاه به شکل‌های (۱۰) تا (۱۳) مشاهده می‌شود که تمامی مخلوط‌های ۹/۵ میلی‌متری باید انرژی بیشتری جهت ایجاد ترک با طول مشخص مستهلک کنند و درنتیجه عملکرد ترک‌خوردگی بهتری دارند.

۳-۲. اثر افزودنی ساسوبیت

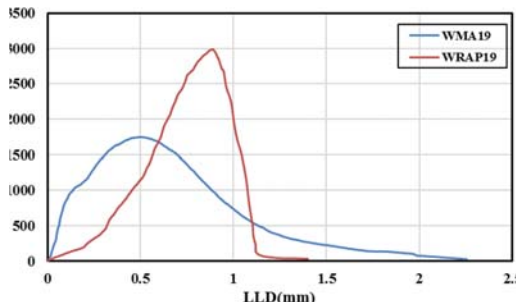
در این بخش اثر کاربرد فناوری WMA که شامل افزودن ساسوبیت و کاهش دمای اختلاط آسفالت باشد روی شکل منحنی‌های بار-LLD و انرژی مصرف شده در آن‌ها بررسی می‌شود. مقایسه منحنی‌های بار-LLD برای مخلوط‌های مختلف در شکل-های (۱۴) تا (۱۷) دیده می‌شود.

طبق این شکل‌ها مشخص می‌شود که مخلوط‌های HMA9.5 و HMA19، WRAP9.5 و HRAP19 در مقایسه با مخلوط‌های WMA اثری بیشتری برای ایجاد تغییر شکل در حجمشان مصرف می‌کنند که بیانگر رفتار شکل‌پذیرتر و الاستیک‌تر آن‌ها است. سختی مخلوط‌های HMA9.5 و HMA19 کمتر از مخلوط‌های WRAP9.5 و HRAP19 است. افزایش در سختی مخلوط‌های WMA9.5 و WMA19 می‌تواند ناشی از افزودن ساسوبیت باشد که مدول مصالح را بهبود می‌دهد. همچنین سختی مخلوط‌های WRAP19 و HRAP19 بالاتر از مخلوط‌های WRAP9.5 است.



شکل (۲۰). مقایسه منحنی بار-LLD مخلوطهای WMA9.5 و WRAP9.5

طبق این شکل‌ها مشخص است که مخلوطهای HRAP9.5 و HRAP19 در مقایسه با مخلوطهای HMA انرژی کرنشی بیشتری در حجمشان مستهلك می‌کنند که بیانگر مقاومت و پایداری بیشتر آن‌ها تحت بارهای سنگین‌تر است. همچنین سختی مخلوطهای HMA و HRAP19 به‌وضوح بالاتر از مخلوطهای HRAP9.5 و HRAP19 است. افزایش در سختی مخلوطهای HRAP ناشی از اثر قیر سخت به‌دست‌آمده از ذرات خرد آسفالت بازیافتی در مصالح HRAP19 است. مخلوط HRAP9.5 درصد RAP بالاتری از مخلوط HRAP19 داشت و درنتیجه سختی آن بالاتر بود که مطابق با مطالعه انجام‌شده است.



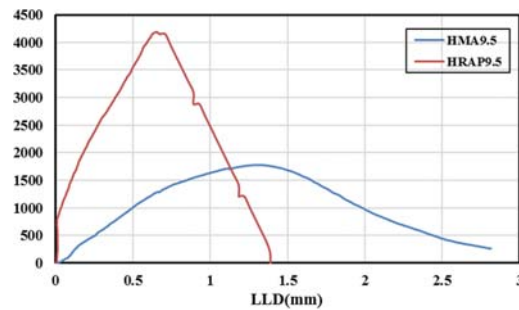
شکل (۲۱). مقایسه منحنی بار-LLD مخلوطهای WMA19 و WRAP19

طبق شکل‌های (۲۰) و (۲۱) مشخص است که مخلوطهای WRAP و WMA تقریباً انرژی یکسانی برای ایجاد تغییر شکل در حجم خود مستهلك می‌کنند که بیانگر مقاومت و پایداری یکسان آن‌ها تحت بارگذاری است. سختی مخلوط WRAP9.5 بالاتر از مخلوط WRAP9.5 است. افزایش در سختی مخلوط WRAP9.5 ناشی از وجود اثر قیر سخت حاصل از ذرات RAP در مصالح است. سختی مخلوطهای WRAP19 و WMA19 نیز تقریباً مشابه است. دلیل این سختی یکسان، کاهش اثر قیر سخت حاصل از ذرات RAP در مصالح ناشی از وجود افزودنی ساسوبیت و نیز نقش مهم اسکلت سنگدانه‌ای در این مخلوطهای درشت‌دانه است.

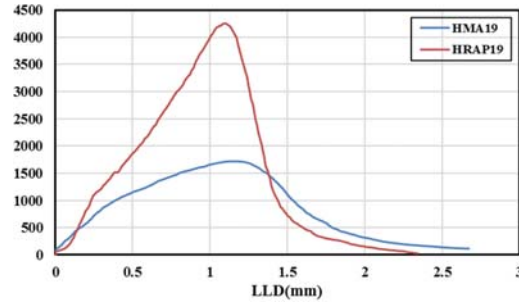
یافته‌های مشابهی در مطالعه انجام‌شده توسط سینک، چیترآگر و آشیش به چشم می‌خورد. کاهش در سختی مخلوطهای WRAP19 و WRAP9.5 قیر سخت ورودی از ذرات خرد آسفالت بازیافتی روی مصالح را کاهش می‌دهد. با بررسی شکل‌های (۱۷) تا (۱۹) مشاهده می‌شود که مخلوطهای HMA19، HMA9.5، HRAP19 و HRAP9.5 اثری بیشتری جهت ایجاد ترک‌های با طول معین مستهلك کنند و بنابراین عملکرد ترک‌خوردگی نسبتاً بهتری دارند.

۳-۳-اثر خرد آسفالت بازیافتی (RAP)

در این بخش، اثر کاربرد خرد آسفالت بازیافتی روی شکل منحنی‌های بار-LLD و انرژی مستهلك شده در آن‌ها بررسی می‌شود. مقایسه منحنی‌های بار-LLD برای مخلوطهای مختلف در شکل‌های (۱۸) تا (۲۱) نشان داده شده است.

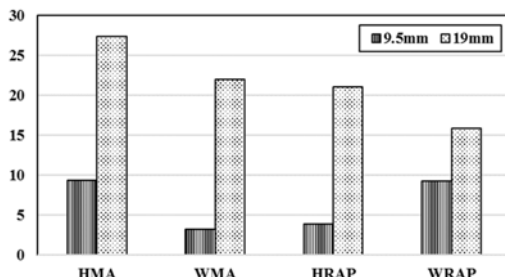


شکل (۱۸). مقایسه منحنی بار-LLD مخلوطهای HMA9.5 و HRAP9.5



شکل (۱۹). مقایسه منحنی بار-LLD مخلوطهای HMA19 و HRAP19

توزیعشان شود. مخلوطهای ریزدانه توزیع سنگدانه یکنواختی دارند که منجر به تغییرپذیری کمتر در مقادیر G_f می‌شود. علاوه بر این، مقادیر ضریب تغییرات مخلوطهای ریزدانه کمتر از ۱۰ درصد بود که بازه قابل قبول برای آزمایش‌های مخلوط آسفالتی است.



شکل (۲۲). ضریب تغییرات مقادیر انرژی شکست انواع مخلوطهای آسفالتی

بر اساس نتایج بدست‌آمده از مقادیر G_f نمونه‌های مخلوط آسفالتی موردمطالعه، رتبه‌بندی عملکردی آن‌ها از نقطه‌نظر ترک‌خوردگی حرارتی در دمای کم در جدول (۷) نشان داده شده است. طبق این جدول، مخلوط ریزدانه HMA9.5 بهترین عملکرد ترک‌خوردگی را دارد و پس از آن HRAP9.5 قرار دارد. سپس مخلوطهای WMA9.5 و WRAP9.5 بهترین عملکرد را در بین مخلوطهای ریزدانه داشته‌ند. بهترین عملکرد در بین مخلوطهای درشت‌دانه مربوط به HRAP19 است که به ترتیب با HMA19 و WRAP19 و WMA19 دنال می‌شود. مخلوط HRAP19 درصد RAP پایین‌تری نسبت به HRAP9.5 دارد و درنتیجه میزان قیر سخت کمتری در ساختار خود دارد.

جدول (۷). رتبه‌بندی عملکرد ترک‌خوردگی مخلوطهای آسفالتی

آسفالتی با شاخص انرژی شکست

نوع مخلوط	مقدار انرژی شکست (J)	رتبه عملکردی
HMA9.5	۱۹۸۶/۱۵۳	۱
HRAP9.5	۲۶۹۱/۸۴۷	۲
HRAP19	۲۲۰۵/۹۵۰	۳
WRAP9.5	۲۱۵۱/۳۴۳	۴
HMA19	۱۹۶۱/۴۹۳	۵
WMA9.5	۱۸۷۸/۰۲۵	۶
WRAP19	۱۲۸۱/۵۶۰	۷
WMA19	۱۰۴۷/۷۱۰	۸

بنابراین مقدار انرژی شکست HRAP19 بالاتر از HMA19 است و مقدار انرژی شکست HRAP9.5 کمتر از HMA9.5 است. این نتیجه در تطابق با [۳۷] است.

بر اساس شکل‌های (۱۸) تا (۲۱) مشاهده می‌شود که مخلوطهای HRAP9.5، WRAP9.5 و WRAP19 نیاز دارند تا انرژی کرنشی بیشتری برای ایجاد ترک‌های به طول مشخص صرف کنند و بنابراین عملکرد ترک‌خوردگی آن‌ها تقریباً بهتر است، اما نوع شکست آن‌ها نسبت به مخلوطهای WMA و HMA متناظر شکننده‌تر است.

۴-۳-ارزیابی انرژی شکست و مقاومت شکست

در این بخش دو پارامتر مبتنی بر نظریه مکانیک شکست الاستیک خطی که عبارت‌اند از انرژی شکست (G_f) و مقاومت شکست (K_{IC}) جهت بررسی عملکرد ترک‌خوردگی حرارتی مخلوطهای آسفالتی موردمطالعه در دمای صفر درجه سانتی‌گراد به کار رفته‌ند. جدول (۶) مقادیر میانگین G_f را برای تمامی نمونه‌ها همراه با خطای استاندارد آن‌ها برای هر نوع مخلوط ارائه می‌کند

جدول (۶). مقادیر انرژی شکست مخلوطهای آسفالتی

نوع مخلوط	شماره نمونه	انرژی شکست (G_f) (J/m^2)	میانگین انرژی شکست (J/m^2)	خطای استاندارد انرژی شکست (J/m^2)
HMA9.5	1H9_1	۳۳۷۳/۷۶	۲۹۸۶/۱۵۳	۲۸۰/۳۲
	1H9_2	۳۸۴۳/۹		
	1H9_3	۳۷۲/۳۱		
HMA19	1H19_1	۲۵۸۷/۵۷	۱۹۶۱/۴۹۳	۵۳۷/۷۸۶۴
	1H19_2	۳۰۲۲/۴۱		
	1H19_3	۱۲۷۴/۵		
WMA9.5	1H9sa_1	-	۱۸۷۸/۰۲۵	۶۰/۶۲۵
	1H9sa_2	۱۹۳۸/۶۵		
	1H9sa_3	۱۸۱۷/۴		
WMA19	1H19sa_1	۱۰۸۲/۴۸	۱۰۴۷/۷۱	۲۳۰/۹۳۱۸
	1H19sa_2	۷۴۹/۱		
	1H19sa_3	۱۳۱۱/۵۵		
HRAP9.5	1R9_1	۲۶۲۶/۶	۲۶۹۱/۸۴۷	۱۰۳/۹۶۷۷
	1R9_2	۲۸۲۸/۰۸		
	1R9_3	۲۶۱۰/۳۶		
HRAP19	1R19_1	۲۰۰/۱۵۵	۲۲۰۵/۹۵	۴۶۴/۲۶۴۸
	1R19_2	۱۷۶۷/۸		
	1R19_3	۲۸۴۲/۵		
WRAP9.5	1R9sa_1	۲۴۳۲/۰۳	۲۱۵۱/۳۴۳	۱۹۹/۴۲۵۳
	1R9sa_2	۱۹۹۷/۱		
	1R9sa_3	۲۰۲۲/۱		
WRAP19	1R19sa_1	۱۰۸۳/۶۹	۱۲۸۱/۵۶	۲۰۳/۲۵۳۷
	1R19sa_2	۱۵۶۱/۰۶		
	1R19sa_3	۱۱۹۹/۹۳		

شکل (۲۲) ضریب تغییرات (COV) مقادیر G_f را برای هر دو نوع مخلوط درشت‌دانه و ریزدانه مقایسه می‌کند. نتایج مخلوطهای ریزدانه قابل اعتمادتر از مخلوطهای درشت‌دانه بود. مخلوطهای آسفالتی با اندازه بیشینه سنگدانه ۱۹ میلی‌متر شامل سنگدانه‌های بزرگی هستند که می‌تواند باعث ایجاد اثرات موضعی ناشی از

از نظر دانه‌بندی، مقادیر COV برای K_{IC} نیز روند مشابه مقادیر COV برای G_f دارد. تقریباً تمامی مقادیر ضریب تغییرات زیر ۱۲ درصد بودند و بنابراین تغییرپذیری مطلوبی داشتند. بر اساس مقادیر ضریب تغییرات پارامترهای G_f و K_{IC} ، پارامتر مقاومت شکست از نظر برسی عملکرد شکست مخلوطهای WMA و حاوی RAP قابل اعتمادتر بود. بنابراین می‌توان نتیجه گرفت که پارامتر افزایش شکست به دست آمده از آزمایش SCB به دلیل تغییرپذیری زیاد یک ویژگی ذاتی مخلوطهای آسفالتی نیست. نتیجه مشابهی در مطالعه انجام شده توسط لو و همکاران [38] به دست آمده است. طبق نتایج به دست آمده از مقادیر مقاومت شکست مخلوطهای آسفالتی، رتبه‌بندی عملکردی آن‌ها بر اساس پایداری و قابلیت حمل بار قبل از ترک خوردگی حرارتی در دمای کم، در جدول (۹) آرائه شده است.

جدول (۹). رتبه‌بندی مخلوطهای آسفالتی از نظر پایداری در برابر ترک با شاخص مقاومت شکست

مقدار مقاومت شکست ($\text{MPa.m}^{0.5}$)	نوع مخلوط	رتبه عملکردی
۴۳/۶۲۵۳۳	HRAP9.5	۱
۳۸/۲۲۲۰۷	HRAP19	۲
۳۲/۴۲۹۷	WRAP9.5	۳
۲۹/۵۰۵۰	WRAP19	۴
۲۱/۰۳۵۲	WMA9.5	۵
۱۸/۴۰۲۷۳	HMA9.5	۶
۱۸/۱۴۰۵۷	HMA19	۷
۱۶/۵۲۹۶	WMA19	۸

بر این اساس مخلوط HRAP9.5 بهترین عملکرد ترک خوردگی را داشت که با مخلوط HRAP19 نسبتاً می‌شود. پس از این دو، مخلوطهای WRAP9.5 و WRAP19 قرار داشتند. مخلوطهای RAP و WMA در رتبه‌های پایین‌تر از مخلوطهای حاوی HMA در این ارزش را در نظر داشتند. بنابراین از نظر دانه‌بندی مخلوطهای ریزدانه و از نظر کاربرد RAP مخلوطهای حاوی آسفالت بازیافتی پایداری بیشتری در برابر ترک خوردگی فراهم کردند و قابلیت حمل بار را بهبود دادند.

۳-۵. تغییر مکان بازشدنگی دهانه ترک (CMOD)

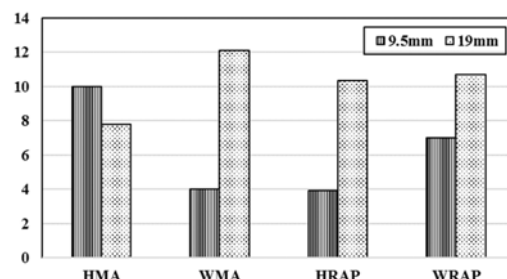
بیشینه

CMOD بیشینه مخلوطهای آسفالتی مختلف پس از انتشار

مقادیر میانگین و خطای استاندارد K_{IC} همراه با میزان بار بحرانی نمونه‌ها در جدول (۸) گردآوری شده است. شکل (۲۳) مقادیر ضریب تغییرات K_{IC} را برای مخلوطهای درشتدانه و ریزدانه مقایسه می‌کند.

جدول (۸). مقادیر مقاومت شکست مخلوطهای آسفالتی

خطای استاندارد مقاومت شکست $\text{MPa.m}^{0.5})^{\circ}$	میانگین مقاومت شکست $\text{MPa.m}^{0.5})^{\circ}$	مقاومت شکست (K_{IC}) $\text{MPa.m}^{0.5})^{\circ}$	شماره نمونه	نوع مخلوط
۱/۸۳۹۶۰۳	۱۸/۴۰۲۷۳	۱۶/۵۸۰۸	1H9_1	HMA9.5
		۱۷۷۰۵۴	1H9_2	
		۲۲۹۲۲	1H9_3	
۱/۴۱۰۷۲۲	۱۸/۱۴۰۵۷	۲۰/۱۳۵۵	1H19_1	HMA19
		۱۷۱۲۲۵	1H19_2	
		۱۷۱۶۲۷	1H19_3	
۰/۸۴۵۹	۲۱/۰۳۵۲	-	1H9sa_1	WMA9.5
		۲۱/۸۸۱۱	1H9sa_2	
		۲۰/۱۸۹۳	1H9sa_3	
۲/۰۰۳۵۹	۱۶/۵۲۹۶	۱۳/۷۵۷۶	1H19sa_1	WMA19
		۱۸/۴۲۴۱	1H19sa_2	
		۱۷/۴۰۷۱	1H19sa_3	
۱/۷۰۶۷۶۲	۴۳/۶۲۵۳۳	۴۵/۸۹۹	1R9_1	HRAP9.5
		۴۱/۷۸۶۸	1R9_2	
		۴۲/۱۹۰۲	1R9_3	
۳/۹۶۱۵۸۴	۳۸/۲۲۲۰۷	۳۹/۳۸۶	1R19_1	HRAP19
		۲۲/۹۰۷۷	1R19_2	
		۴۲/۴۰۳	1R19_3	
۲/۲۶۲۷۴	۳۲/۴۲۹۷	۳۵/۵۸۶۸	1R9sa_1	WRAP9.5
		۲۱/۱۲۰۴۴	1R9sa_2	
		۳۰/۱۹۸۹	1R9sa_3	
۳/۱۵۶۰۹۵	۲۹/۵۰۵	۱۴/۷۸۷۷	1R19sa_1	WRAP19
		۲۳/۲۲۱۳	1R19sa_2	
		۲۵/۵۰۶	1R19sa_3	



شکل (۲۳). ضریب تغییرات مقادیر مقاومت شکست انواع مخلوطهای آسفالتی

متناظر غیر بازیافتی بودند.

-۲- بر اساس مقادیر انرژی شکست مخلوطهای آسفالتی، رتبه-بندی عملکردی آن‌ها از نظر ترک‌خوردگی حرارتی در دمای کم به صورتی بود که مخلوطهای HMA9.5 بهترین مقاومت در برابر ترک WRAP9.5 را داشتند و سپس HRAP9.5 قرار داشت. پس از آن‌ها، WRAP9.5 و WMA9.5 بهترین عملکرد را در بین مخلوطهای ریزدانه داشتند.

-۳- بر اساس مقادیر انرژی شکست، بهترین عملکرد در بین مخلوطهای درشت‌دانه مربوط به مخلوط HRAP19 بود و پس از آن WRAP19 و WMA19 HMA19 و با استفاده از معیار انرژی شکست، مخلوطهای آسفالتی بازیافتی عملکرد بهتری علاوه بر مزایای زیستمحیطی و اقتصادی شان داشتند. بر اساس مقادیر مقاومت شکست مخلوطهای آسفالتی، رتبه-بندی عملکردی آن‌ها از نظر پایداری و قابلیت حمل بار پیش از ترک‌خوردگی حرارتی در دمای کم به این صورت بود که مخلوط HRAP9.5 بهترین عملکرد را داشت و پس از آن مخلوطهای WRAP9.5 و WRAP19 قرار داشتند. مخلوطهای HMA و WMA پایین‌تر از مخلوطهای حاوی RAP رتبه-بندی شدند.

-۴- از لحاظ دانه‌بندی، مخلوطهای ریزدانه و از نظر کاربرد RAP مخلوطهای حاوی RAP پایداری بیشتری در برابر ترک‌خوردگی فراهم کردند و قابلیت حمل بار را ارتقا دادند. بنابراین استفاده از مخلوطهای دارای خرد آسفالت بازیافتی برای روسازی‌های آسفالتی در معرض بارهای چرخش و سایل نقلیه سنگین از نظر ترک‌خوردگی کمتر در دمای پایین بسیار فراوان بود. این مخلوطها مقاومت بیش از دو برابری در مقایسه با مخلوطهای متناظر بدون RAP نشان دادند.

۵. مراجع

- [1] P. Teymourpour, "Using Mastic Characterization to Predict Asphalt Mixture Low-temperature Cracking Behavior," Ph.D. Thesis, University of Wisconsin, Madison, 2015.
- [2] R.L. Krans, F. Tolman and M.F.C. Van de Ven, "Semi-circular bending test: a practical crack growth test using asphalt concrete cores," RILEM proceedings (pp. 123-132), 1996.
- [3] F. Hong and J.A. Prozzi, "Evaluation of recycled asphalt pavement using economic, environmental, and energy metrics based on long-term pavement performance sections," Road Materials and Pavement Design, vol. 19(8) pp. 1816-1831, 2018.
- [4] D.J. Mensching, "Developing index parameters for cracking in asphalt pavements through black space and viscoelastic continuum damage principles," 2015.
- [5] R. Shrestha, "The Effects of Reclaimed Asphalt Pavement (RAP) on the Laboratory Performances of Hot Mix Asphalts," Ph.D. Thesis, 2009.
- [6] Y. Zhu, Y. Li, C. Si, X. Shi, Y. Qiao, and H. Li, "Laboratory Evaluation on Performance of Fiber-Modified Asphalt Mixtures

ترک و در شروع مرحله ترک‌خوردگی درشت (ماکرو) معیاری از شدت ترک‌خوردگی است. بر اساس نتایج آزمایش، رتبه-بندی بیشینه CMOD در جدول (۱۰) نشان داده شده است. مخلوط با میزان CMOD کمتر، شدت ترک کمتر و عرض ترک کوچک‌تری داشت.

جدول (۱۰). رتبه-بندی شدت ترک‌خوردگی مخلوطهای

آسفالتی بر اساس پارامتر بیشینه CMOD

رتبه-بندی شدت ترک‌خوردگی	نوع مخلوط	مقدار مقاومت (MPa.m ^{0.5}) شکست
۱	HRAP9.5	۰/۱۴۶
۲	WRAP9.5	۰/۱۷۸
۳	HRAP19	۰/۱۹۶
۴	WRAP19	۰/۲۰۹
۵	WMA19	۰/۲۵۰
۶	WMA9.5	۰/۲۸۳
۷	HMA19	۰/۴۳۸
۸	HMA9.5	۰/۵۷۳

آن‌چنان‌که در جدول (۱۰) دیده می‌شود، مخلوطهای دارای خرد آسفالت بازیافتی (HRAP و WRAP) شدت ترک‌خوردگی کمتری (بین ۲۵ تا ۸۴ درصد مخلوطهای بدون RAP متناظر) داشتند. مخلوطهای حاوی خرد آسفالت بازیافتی ریزدانه عرض ترک کوچک‌تری داشتند که به دلیل دانه‌بندی ریز آن‌ها است. ترک‌خوردگی شکننده آن‌ها از بین ریزدانه‌ها رخداده و عرض ترک را کاهش می‌دهد. مخلوطهای HMA و WMA در رتبه پایین‌تری از مخلوطهای حاوی RAP بودند. با این وجود، مخلوطهای WMA رتبه بهتری نسبت به مخلوطهای HMA داشتند.

۶. نتیجه‌گیری

در این مطالعه عملکرد ترک‌خوردگی دمای پایین مخلوطهای آسفالتی حاوی RAP با اندازه بیشینه سنگدانه ۹/۵ و ۱۹ میلی‌متر ارزیابی شدند. پس از رسم منحنی‌های بار-LLD بر اساس نتایج آزمایش خمش نمونه نیم‌دایره در دمای صفر درجه سانتی‌گراد و تعیین پارامترهای انرژی شکست و مقاومت شکست، نتایج زیر حاصل شدند:

۱- با نگاه به شکل منحنی بار - تغییر مکان مشخص می‌شود که نمونه مخلوطهای آسفالتی بازیافت شده (WRAP و HRAP) گسیختگی شکننده و ناگهانی نشان دادند، در حالی که مخلوطهای WMA و HMA رفتار شکل‌پذیری در ناحیه گسیختگی داشتند. از نظر ظرفیت باربری در دمای پایین نیز مخلوطهای HRAP و WRAP قادر به حمل بار بیشتر نسبت به مخلوطهای آسفالتی

- environmental conditions,” *Engineering Fracture Mechanics*, vol. 190 pp. 245-258, 2018.
- [23] E.Z. Teshale, D. Rettner, A. Hartleib, and D. Kriesel, “Application of laboratory asphalt cracking tests to cold in-place recycled mixtures,” *Road Materials and Pavement Design*, vol. 18(sup4) pp. 79-97, 2017.
- [24] S.R. Omranian, M.O. Hamzah, and M.R.M. Hasan, “Introducing New Indicators to Evaluate Fracture Properties of Asphalt Mixtures Using Semicircular Bending Test,” *Iranian Journal of Science and Technology, Transactions of Civil Engineering*, vol. 43(3) pp. 541-549, 2019.
- [25] F. Kaseer, F. Yin, E. Arámbula-Mercado, A.E. Martin, J.S. Daniel, and S. Salari, “Development of an index to evaluate the cracking potential of asphalt mixtures using the semi-circular bending test,” *Construction and Building Materials*, vol. 167 pp. 286-298, 2018.
- [26] Y. Zhu, E.V. Dave, R. Rahbar-Rastegar, J.S. Daniel, and A. Zofka, “Comprehensive evaluation of low-temperature fracture indices for asphalt mixtures,” *Road Materials and Pavement Design*, vol. 18(sup4) pp. 467-490, 2017.
- [27] M.R.M. Aliha, H. Ziari, B. Mojarradi, and M.J. Sarbijan, “Heterogeneity effects on mixed-mode I/II stress intensity factors and fracture path of laboratory asphalt mixtures in the shape of SCB specimen,” *Fatigue & Fracture of Engineering Materials & Structures*, vol. 43(3) pp. 586-604, 2020.
- [28] S.C. Somé, A. Feeser, and A. Pavoine, “Numerical and experimental investigation of mode I cracking of asphalt concrete using semi-circular bending test,” *Construction and Building Materials*, vol. 169 pp. 34-46, 2018.
- [29] AASHTO M320, “Standard Method of Test for Performance Graded Asphalt Binder,” American Association of State Highway and Transportation Officials, Washington DC, 2016.
- [30] Sasolwax, “Asphalt Additives,” <http://www.sasolwax.com/products-applications/fischer-tropsch-wax0/asphalt-additives/>, 2020.
- [31] ASTM D2172/D2172M-17, “Standard test methods for quantitative extraction of asphalt binder from asphalt mixtures,” ASTM, 2017.
- [32] ASTM D1856, “Standard Test Method for Recovery of Asphalt from Solution by Abson Method,” ASTM, 2015.
- [33] AASHTO R35, “Standard practice for Superpave volumetric design for asphalt mixtures,” American Association of State Highway and Transportation Officials, Washington DC, 2015.
- [34] AASHTO M323, “Standard specification for superpave volumetric mix design,” American Association of State Highway and Transportation Officials, Washington, DC, 2013.
- [35] AASHTO TP105-13, “Standard Method of Test for Determining the Fracture Energy of Asphalt Mixtures Using the Semicircular Bend Geometry (SCB),” American Association of State Highway and Transportation Officials, Washington DC, 2015.
- [36] AASHTO T312, “Standard Method of Test for Preparing and Determining the Density of Hot Mix Asphalt (HMA) Specimens by Means of the Superpave Gyratory Compactor,” American Association of State Highway and Transportation Officials, Washington DC, 2015.
- [37] Y. Yan, R. Roque, D. Hernando, and G. Lopp, “Development of a new methodology to effectively predict the fracture properties of RAP mixtures,” *Road Materials and Pavement Design*, vol. 18(sup4) pp. 372-387, 2017.
- [38] D.X. Lu, H.H. Bui, and M. Saleh, “Effects of specimen size and loading conditions on the fracture behavior of asphalt concretes in the SCB test,” *Engineering Fracture Mechanics*, vol. 242, 2021.
- Containing High Percentage of RAP,” *Advances in Civil Engineering*, 2020.
- [7] A.C. Falchetto, K.H. Moon, and D.H. Kim, “Evaluation of recycled asphalt mixture at low temperature using different analytical solutions,” *Canadian Journal of Civil Engineering*, vol. 47(7) pp. 801-811, 2020.
- [8] S. Raschia, A. Graziani, A. Carter, and D. Perraton, “Laboratory mechanical characterisation of cold recycled mixtures produced with different RAP sources,” *Road Materials and Pavement Design*, vol. 20(sup1) pp. S233-S246, 2019.
- [9] J. Li, F. Ni, and Q. Lu, “Experimental investigation into the multiscale performance of asphalt mixtures with high contents of reclaimed asphalt pavement,” *Journal of Materials in Civil Engineering*, vol. 30(6) p. 04018105, 2018.
- [10] L. Gao, H. Li, J. Xie, Z. Yu, and S. Charmot, “Evaluation of pavement performance for reclaimed asphalt materials in different layers,” *Construction and Building Materials*, vol. 159 pp. 561-566, 2018.
- [11] X. Sanchez and S.L. Tighe, “Steps towards the detection of reclaimed asphalt pavement in superpave mixtures,” *Road Materials and Pavement Design*, vol. 20(5) pp. 1201-1214, 2019.
- [12] Z. Zhou, X. Gu, F. Ni, Q. Li, and X. Ma, “Cracking resistance characterization of asphalt concrete containing reclaimed asphalt pavement at intermediate temperatures,” *Transportation Research Record*, vol. 2633(1) pp. 46-57, 2017.
- [13] D. Singh, S.F. Chitragar, and P.K. Ashish, “Comparison of moisture and fracture damage resistance of hot and warm asphalt mixes containing reclaimed pavement materials,” *Construction and Building Materials*, vol. 157 pp. 1145-1153, 2017.
- [14] A.Z. Siavashani, “Development of indirect ring tension test for fracture characterization of asphalt mixtures,” University of Kentucky, 2014.
- [15] X. Li and M. Marasteanu, “Evaluation of the low temperature fracture resistance of asphalt mixtures using the semi circular bend test,” *Association of Asphalt Paving Technologists-Proceedings of the Technology Sessions, AAPT 2004* (pp. 401-426), 2004.
- [16] S. Pirmohammad, B. Amani, and Y.M Shokorlou, “The effect of basalt fibres on fracture toughness of asphalt mixture,” *Fatigue & Fracture of Engineering Materials & Structures*, 2020.
- [17] S. Pirmohammad, Y.M. Shokorlou, and B. Amani, “Laboratory investigations on fracture toughness of asphalt concretes reinforced with carbon and kenaf fibers,” *Engineering Fracture Mechanics*, vol. 226 p.106875, 2020.
- [18] M.R.M. Aliha, A. Razmi, and A. Mansourian, “The influence of natural and synthetic fibers on low temperature mixed mode I+ II fracture behavior of warm mix asphalt (WMA) materials,” *Engineering Fracture Mechanics*, vol. 182 pp. 322-336, 2017.
- [19] M.R. Eghbali, M.F. Tafti, M.R.M. Aliha, and H. Motamedi, “The effect of ENDB specimen geometry on mode I fracture toughness and fracture energy of HMA and SMA mixtures at low temperatures,” *Engineering Fracture Mechanics*, vol. 216 p.106496, 2019.
- [20] S. Saadeh and O. Eljairi, “Comparison of Fracture Properties of Asphalt Concrete in Semicircular Bend Test Using Noncontact Camera and Crosshead Movement,” *Journal of Materials in Civil Engineering*, vol. 30(6) p.04018078, 2018.
- [21] A.C. Falchetto, K.H. Moon, D. Wang, C. Riccardi, and M.P. Wistuba, “Comparison of low-temperature fracture and strength properties of asphalt mixture obtained from IDT and SCB under different testing configurations,” *Road Materials and Pavement Design*, vol. 19(3) pp. 591-604, 2018.
- [22] P.H. Pour, M.R.M. Aliha, and M.R. Keymanesh, “Evaluating mode I fracture resistance in asphalt mixtures using edge notched disc bend ENDB specimen with different geometrical and